

京都大学防災研究所 正員 村山翔郎
 京都大学大学院 学生 中崎英彦

まえがき

振動圧を受けたときの土の挙動は数年來当研究所で研究されてきた。この実験はこれら一連の実験の延長であり、特に地震時の振動数(1^{c.p.s.}~10^{c.p.s.})付近の振動数における軟かい粘土(初期含水比57%,先行圧空荷重0.32^{kg/cm²})に発生する間ゲキ水圧の振中特性を調べたものである。

実験装置と方法

実験に用いた装置は文献(3)に示すものであるが、特に振動数を下げたとき恒圧ピストンの運動による圧力波形の乱れを防ぐため、恒圧装置と三軸セルとの間に15^m程度のビニール管にオイルをみだし、これをダンパーとした。

用いた試料はPL32.6%, LL68.0%, 比重2.55, 粘土含量42%の粘土を圧縮したもので含水比は57%であり、その三軸圧密試験による $e \sim \log P$ 関係をFig.1に示す。この試料を直径3.57^{cm}, 高さ7^{cm}に成形し三軸セル内でパーパードレーンを併用してさうに試料を等方圧 σ_c で圧密した後、周圧をそのまま保持した上、さうに振動圧を付加した。なお間ゲキ水圧測定には非接着型抵抗線歪計を用いた最大圧力0.8^{kg/cm²}の圧力計を用いた。

圧力振中一定・振動数変化の実験

等方圧 σ_c の圧力振中(Δp_0)を0.4^{kg/cm²}($\sigma = 0.152$ ^{kg/cm²}、 $\sigma_c = 0.3$ ^{kg/cm²})に一定に保ち、振動数(f)を1^{c.p.s.}と10^{c.p.s.}の間を往復して、間ゲキ水圧の振中(Δp_w)を測定した。この時振動圧を加えると同時に間ゲキ水圧は直ちに定常状態となって振動し始める。

比 $\Delta p_w / \Delta p_0$ と周波数 f との関係を σ_c をパラメーターにして示したものがFig.2である。周波数が大きくなるほど、また σ_c が大きい試料ほど $\Delta p_w / \Delta p_0$ は小さくなる。一般に非排水状態で土に加えられている全応力 σ が変化した場合、これにとりなって発生する間ゲキ水圧の変化は間ゲキ水係数 B を用いて

$$\Delta u = B \cdot \Delta \sigma$$

となり B は土の構造崩壊と間ゲキ水との相対的圧縮率の比の関数として

$$B = \frac{1}{1 + n \frac{m_w}{m_s}}$$

n : 間ゲキ水率
 m_w : 間ゲキ水の体積圧縮率
 m_s : 構造崩壊の体積圧縮率

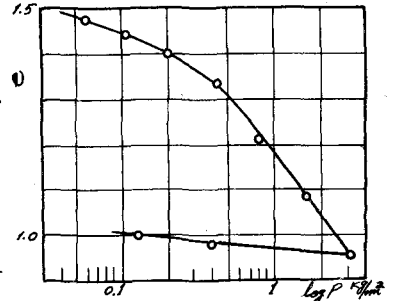


Fig. 1. $e \sim \log P$

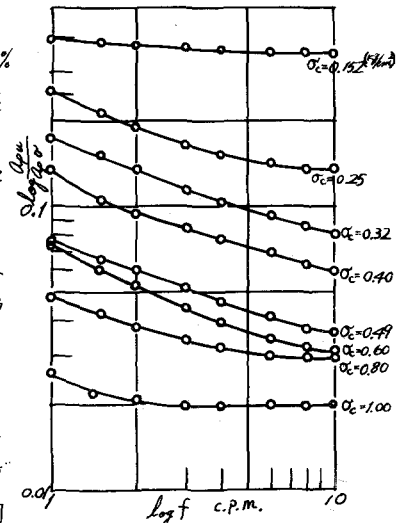


Fig. 2. $\log f \sim \log \frac{\Delta p_w}{\Delta p_0}$

$\frac{A_{pw}}{A_{p0}}$ をB値と考えた時、 $m_{w0} = 42 \times 10^{-6} / \gamma_{pm} (0 \sim 500 \text{ 年})$ で一定であるから、B値の周波数による変化は、 m_w の周波数依存性によるものと思われる。すなわち周波数が大きくなるほど m_w は小さくなり、圧縮し難くなる。このことは周波数が大きくなるほど構造骨格の粘性抵抗による効果が大きくなることを示している。当然ながら α_c の大きくなるほど m_w は小さくなり、B値は小さくなる。

(2)式より m_w/m_{w0} を逆算して n と m_w/m_{w0} の関係を示したものが Fig. 3 である。 $n = 0.566$ の上下で明らかに関連がみられる。この n の値は Fig. 1 の処女圧縮曲線へ復帰する時の値に一致する。この変遷境界に構造骨格は異なった挙動を示すものと思われる。なお $f=1$ の直線 ($n < 0.566$ 部分) を上方に延長して $n=1$ (水の場合) と交わる点を求めると $m_w/m_{w0} = 5.78 \times 10^3$ となり、また Fig. 1 の m_w を求めると $72,400 \times 10^{-6} / \gamma_{pm} (\alpha_c = 16 \text{ 年})$ 、 $110,500 \times 10^{-6} / \gamma_{pm} (\alpha_c = 0.8 \text{ 年})$ 、 $342,000 \times 10^{-6} / \gamma_{pm} (\alpha_c = 0.6 \text{ 年})$ となり、 $m_w = 42 \times 10^{-6} / \gamma_{pm}$ として m_w/m_{w0} を求めると 1.73×10^3 、 2.63×10^3 、 8.15×10^3 となり Fig. 3 より求めた値とオーダー一致する。このことは圧縮曲線の正規部分と上方に延長していけば岩石は液体としての挙動を示すことと一致している。

振動数一定・圧力振中変化の実験

振動数を 1 c.p.s. 、 4 c.p.s. 、 10 c.p.s. に固定し圧力振中を変化させた。 $\frac{A_{pw}}{A_{p0}}$ の代表的な例を示すと Fig. 4 となり A_{pw} が増加するにつれて A_{pw} は linear に増加せず指数的に増加している。このことは m_w の振中による依存性を示すものであり、振中がある値以上になれば m_w は大きくなり、圧縮し易くなる。前と同じ方法で m_w/m_{w0} を求め A_{p0} との関係を図5に示す。この間からある程度のばらつきはあるが明らかな折衷がみられる。この変まではほぼ水平で振中効果による m_w の変化はみられないが、この変をこえると A_{p0} の増加につれて m_w/m_{w0} は急激に増大する。この折衷は、この変以下の圧力振中では m_w は一定で A_{p0} と A_{pw} は linear であるが、この変以上の振中では m_w は振中に大きく依存し不安定状態になることが予想される。このほぼ linear でなくなる変

における A_{p0} と n との関係が Fig. 6 であり、 $n = 0.559$ をこえに相違がみられる。すなわち $n = 0.559$ 以下では限界としての A_{p0} にはあまり変化がなくなる傾向がある。

参考文献

- 1) 小沢：振動時における体積変化について、海井、昭和38年度年次学術講演会
- 2) 榊原：初期時に及ぶ地盤工の程度について、中野、昭和39年度年次学術講演会
- 3) 村山：振動圧を受けた砂の挙動について、石崎、昭和40年度年次学術講演会

